

BF-spline Ritz 法を用いた長方形 Mindlin 板の振動解析

Vibration analysis of rectangular Mindlin plates by BF-spline Ritz method

名木野 晴暢*・水澤 富作**・三上 隆***

Harunobu Nagino, Tomisaku Mizusawa and Takashi Mikami

* 工(修) 日本学術振興会特別研究員 DC 北海道大学大学院博士後期課程 工学研究科北方圏環境政策工学専攻
(〒060-8628 札幌市北区北13条西8丁目)

** 工博 大同工業大学教授 都市環境デザイン学科 (〒457-0818 名古屋市南区白水町40)

*** 工博 北海道大学大学院教授 工学研究科北方圏環境政策工学専攻 (〒060-8628 札幌市北区北13条西8丁目)

This paper presents a numerical method, the BF-spline Ritz method, for free vibration analysis of rectangular Mindlin plates with arbitrary boundary conditions. The proposed method utilizes admissible functions comprising the B-spline functions multiplied by a boundary function to define the Ritz trial function for the transverse displacement and rotations of the Mindlin plates. The geometric boundary conditions of the plate at edges are automatically satisfied using boundary functions. To demonstrate the validity and accuracy of the BF-spline Ritz method, several examples are solved, and results are compared with those obtained by exact and other numerical methods. Excellent convergence and high accuracy are obtained by the present method regardless of arbitrary boundary conditions. The effects of thickness-width ratio, aspect ratio and boundary conditions on frequency parameters of rectangular Mindlin plates are shown in tabular forms to serve as benchmark data for future development of new numerical methods.

Key Words: BF-spline Ritz method, boundary function, free vibration, Mindlin plate

キーワード: BF-spline Ritz 法, 境界関数, 自由振動, Mindlin 板

1. まえがき

構造物の大型化や構造の合理化にともない、比較的板厚の大きな平板が構造要素として用いられている。このような厚板の振動問題では、面外せん断変形や回転慣性の影響が顕著に現れるので、これらの影響を考慮した種々のせん断変形板理論が提案されている¹⁾。平面保持の仮定を修正した Mindlin 板理論²⁾は、それぞれ独立したたわみと 2 つの回転角で表される 3 元連立偏微分方程式で与えられる。したがって、任意の境界条件を有する Mindlin 板の閉じた解を求めることが困難になるので^{3), 4)}、Ritz 法や有限要素法などの数値解析法を用いて解析されている。

種々の試験関数を適用した Ritz 法⁵⁾は、定式化の簡便さや比較的早い解の収束性を有しているので、平板の振動解析法として、古くから多用されて来ている。エネルギー変分原理に基づく Ritz 法で仮定される試験関数には、1) 少なくとも幾何学的境界条件を満たす許容関数、2) 剛体モードを表す係数項を含む関数と 3) 汎関数に現れる導関数の最高次数以上の連続性を有する滑らかな関数であるこ

とが必要である。ここで、1)の幾何学的境界条件に対する許容条件は、級数の各項毎に満たす方法と、級数和で表される全体関数に対して満足させる方法に分けられる。平板解析に用いる試験関数には、はりの固有関数⁶⁾⁻⁸⁾、ベキ級数多項式⁹⁾、直交多項式¹⁰⁾や Chebyshev 多項式¹¹⁾などの全体関数(global functions)が挙げられる。幾何学的境界条件を自動的に満たすために、境界関数(boundary function)を導入したベキ級数多項式、直交多項式や Chebyshev 多項式が Ritz 法の許容関数として用いられている。

Leissa⁶⁾は、はりの固有関数を Ritz 法の許容関数に仮定し、任意の境界条件を有する長方形板の振動解析を行っている。Liew ら¹⁰⁾は、自動的に幾何学的境界条件を満足するために境界関数を導入した直交多項式を Ritz 法に適用し、任意の境界条件を持つ長方形 Mindlin 板の振動解析を行っている。また、成田⁹⁾は、ベキ関数と境界インデックス(境界関数)を組み合わせた許容関数を Ritz 法の試験関数に適用して、任意の境界条件を有する積層板の振動解析を行っている。Zhou・Cheung⁸⁾は、分布荷重を受ける Timoshenko 梁の静的たわみ関数を誘導し、これを許容関

数に採用した Ritz 法を用いて長方形 Mindlin 板の振動解析を行っている。また、最近、 Zhou ら¹¹⁾は、 Chebyshev 多項式に境界関数を導入した許容関数を Ritz 法の変位関数に仮定し、3 次元弾性論に基づく長方形厚板の振動解析を行っている。

このような許容関数を Ritz 法の試験関数に適用すれば、解の収束が早くなるが、級数項を増大すると多項式の次数が急増大してくるので、係数行列を求めるための数値積分に時間を要する。また、積分点の増大にともない演算回数が増加し、計算誤差が入りやすくなると思われる。また、任意の全体関数に対して、幾何学的境界条件に対応する仮想バネを導入する方法^{12)~14)}や Lagrange 乗数を適用した修正 Ritz 法¹⁵⁾も用いられているが、仮想バネ値の決定方法や Lagrange 乗数を適用した修正 Ritz 法で定式化される係数行列の非正値化が数値計算上の課題になっている。

一方、局所基底で表される B-spline 関数などの区分的多項式関数(piecewise polynomial function)が、Ritz 法の試験関数に用いられている。 $k-1$ 次の B-spline 関数は、 $k-2$ 階の導関数までの高次の連続性を有する任意の区分的多項式であるので、与えられた幾何学的境界条件を満たすために種々の境界条件の導入法が提案されている。これまでに提案されている境界条件の導入法を大きく分けると、以下のように 4 つに分類される。

(i) 多重節点法： $k-1$ 次の B-spline 関数を構築するために、解析領域に設ける区分点(knot)の他に、1 次元問題では境界点を含む領域外にそれぞれ $k-1$ 個の付加区分点が必要になるが、この付加区分点を境界点に重ね合わせて境界条件を導入する方法である。Antes¹⁶⁾は、3 次の B-spline 関数と多重節点法を適用した Ritz 法を用いて、長方形板の曲げ解析を行っている。また、Fuji¹⁷⁾は、B-spline 関数と多重節点法を適用した混合法の定式化を用いて、長方形板の振動解析を行っている。しかしながら、節点を重ねることにより B-spline 関数の導関数の連続性が低下する。

(ii) 局所 spline 関数法：境界条件を満たすために、境界点に関する spline 関数のみを修正した修正 B-spline 関数を誘導し、重み付き残差法や Ritz 法の試験関数に仮定する方法であり、古くから微分方程式の解法として用いられている。Fan ら¹⁸⁾は、3 次の B-spline 関数の局所 B-spline 関数を用いた修正 B-spline 関数と単純多項式を仮定した spline 有限帶板法を定式化し、平板の曲げ、振動や座屈解析に適用している。Dawe ら¹⁹⁾は、Fan ら¹⁸⁾の方法を一般化して、局所 B-spline 関数の座標変換から 5 次までの修正 B-spline 関数を誘導している。

(iii) 仮想バネ法^{12), 13)}：幾何学的境界条件に対応する鉛直バネと 2 つの回転バネのひずみエネルギーを求めて、全ポテンシャルエネルギーに付加したペナルティ法の一方法であり、点支持や局所的な拘束も容易に考慮できる。また、Ritz 法の試験関数に任意の B-spline 関数を適用できるという利点があるが、仮想バネの大きさにより係数行列が悪条件になるという問題生じるため、その値は試行錯誤で求め

る必要がある。

(iv) Lagrange 乗数法¹⁵⁾：Lagrange 乗数を用いて境界条件を導入した修正 Ritz 法であり、幾何学的および力学的境界条件の両方を考慮できる。しかしながら、定式化された係数行列は、対称であるが正値でなくなるので、標準固有値問題として解析する必要があり、自由度も大きくなる。

しかしながら、先に述べた境界関数と B-spline 関数とを組み合わせた許容関数の定式化の試みと Ritz 法への適用については、著者らの知る限りにおいて未だ検討されておらず、検討する価値があると思われる。

本論文の目的は、 $k-1$ 次の任意の B-spline 関数が幾何学的境界条件を自動的に満足するように、境界関数と B-spline 関数を組み合わせた許容関数を定義し、これを Ritz 法の変位関数に仮定した BF-spline Ritz 法(Boundary Function-spline based Ritz method)を定式化することである。本手法を長方形 Mindlin 板の振動解析へ適用し、解の収束性や解析精度について検討を行い、本手法の有用性および解の妥当性について明らかにしている。また、厳密解を得ることが困難な境界条件を有する厚板の振動特性に与える幅厚比、辺長比や境界条件などの影響についても明らかにしている。

2. BF-spline Ritz 法

ここでは、境界関数を導入した B-spline 関数を許容関数に仮定した Ritz 法を定式化する。図-1 に示すように、定式化には、次式の無次元座標系(ξ, η)と無次元たわみ $w(\xi, \eta)$ を用いる。

$$\xi = x/a, \eta = y/b, w = W/h \quad (1)$$

ここで、 a, b, h は、それぞれ長方形板の長さ、幅と厚さであり、 $W(\xi, \eta)$ は面外たわみである。

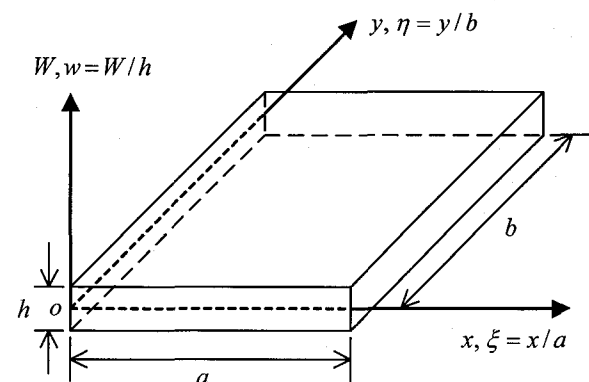


図-1 長方形 Mindlin 板と座標系

2.1 B-spline 関数

局所的な基底関数で表される B-spline 関数は、切断ベキ関数の k 階差分商で定義され、直交性を有する区分的多項式である。また $k-2$ 階までの導関数の連続性が保証された滑らかな関数である²⁰⁾。

この関数の代数的特性については、Boor の論文²¹⁾で詳しく述べられているので、ここでは基本式について簡単に述べる。

今、すべての i について、 $x_i \leq x_{i+1}$ なる関係を満たす実変数 x_i に対して、次の関数を定義する。

$$g_k(s; x) = (s - x)_+^{k-1} = \begin{cases} (s - x)^{k-1} & s \geq x \\ 0 & s < x \end{cases} \quad (2)$$

この関数の k 次差分商として、B-spline 関数 $M_{i,k}(x)$ は、次式のように定義される。

$$\begin{aligned} M_{i,k}(x) &= g_k(x_i, \dots, x_{i+k}; x) \\ &= \{g_k(x_{i+1}, \dots, x_{i+k}; x) \\ &\quad - \{g_k(x_i, \dots, x_{i+k-1}; x)\}/(x_{i+k} - x_i)\} \end{aligned} \quad (3)$$

また、正規化された B-spline 関数 $N_{i,k}(x)$ は次式で表される。

$$N_{i,k}(x) = (x_{i+k} - x_i) M_{i,k}(x) \quad (4)$$

したがって、この関数を組み合わせて、次式のような任意の関数を作り出すことができる。

$$f(x) = \sum_i C_i N_{i,k}(x) \quad (5)$$

ここで、 C_i は未定係数である。

式(5)に示す関数の x に関する j 回微分は、式(7)のような漸化式で計算される。

$$\frac{d^j f(x)}{dx^j} = \sum_i C_i N_{i,k}^{(j)}(x) \quad (6)$$

$$\begin{aligned} N_{i,k}^{(j)}(x) &= (k-1) \{N_{i,k-1}^{(j-1)}(x)/(x_{i+k-1} - x_i) \\ &\quad - N_{i+1,k-1}^{(j-1)}(x)/(x_{i+k} - x_{i+1})\} \end{aligned} \quad (7)$$

ここで、

$$N_{i,k}^{(0)}(x) = N_{i,k}(x) \quad (8)$$

である。

2.2 境界関数および許容関数

$k-1$ 次の区分的多項式で定義される B-spline 関数は、与えられた境界条件を満足しない任意の関数である。ここでは、領域 $[0, 1]$ で幾何学的境界条件を自動的に満足させるための境界関数と B-spline 関数を組み合わせた許容関数を定義する。

表-1 に示す $F_x(\xi), F_y(\xi), F_w(\xi)$ は、それぞれ η 軸に平行な境界辺 ($\xi = 0, 1$) で与えられる幾何学的境界条件を満たす境界関数であり、また $G_x(\eta), G_y(\eta), G_w(\eta)$ は、それぞれ ξ 軸に平行な境界辺 ($\eta = 0, 1$) で与えられる境界関数である。ただし、表中の S, C, F は、それぞれ単純支持、固定

表-1 種々の幾何学的境界条件に対応した境界関数

| B.C. | $\xi = 0, 1$ | $\eta = 0, 1$ |
|------|------------------|------------------|
| S-S | 1 | $4(\xi - \xi^2)$ |
| S-F | 1 | ξ |
| F-S | 1 | $1-\xi$ |
| S-C | $4(\xi - \xi^2)$ | ξ |
| C-S | ξ | $4(\xi - \xi^2)$ |
| C-C | $4(\xi - \xi^2)$ | $4(\xi - \xi^2)$ |
| C-F | ξ | ξ |
| F-C | $1-\xi$ | $1-\xi$ |
| F-F | 1 | 1 |
| | $F_x(\xi)$ | $F_y(\eta)$ |
| | $F_w(\xi)$ | $G_x(\eta)$ |
| | $F_v(\xi)$ | $G_y(\eta)$ |
| | $G_w(\eta)$ | $G_v(\eta)$ |

および自由の境界条件を示す。

Mindlin 板理論で仮定される独立した 3 つの変位関数(たわみ w と 2 つの回転角 ϕ_x, ϕ_y)は、表-1 に示す境界関数と B-spline 関数を掛け合わせて、それぞれ次式で仮定する。

$$\phi_x(\xi, \eta) = F_x(\xi) G_x(\eta) \sum_{m=1}^{i_x} \sum_{n=1}^{i_y} A_{mn} N_{m,k}(\xi) N_{n,k}(\eta),$$

$$\phi_y(\xi, \eta) = F_y(\xi) G_y(\eta) \sum_{m=1}^{i_x} \sum_{n=1}^{i_y} B_{mn} N_{m,k}(\xi) N_{n,k}(\eta),$$

$$w(\xi, \eta) = F_z(\xi) G_z(\eta) \sum_{m=1}^{i_x} \sum_{n=1}^{i_y} C_{mn} N_{m,k}(\xi) N_{n,k}(\eta)$$

(9)

ただし、 $N_{m,k}(\xi), N_{n,k}(\eta)$ は、 $k-1$ 次の正規化された B-spline であり、 A_{mn}, B_{mn}, C_{mn} はそれぞれ未定係数である。 $i_x = k-2 + M_x, i_y = k-2 + M_y, k-1$ は B-spline 関数の次数、 M_x と M_y はそれぞれ ξ 方向と η 方向に設けた区分点の数である。この許容関数は、B-spline 関数の特性である $k-2$ 階までの導関数の連続性が保証されることを確認している。

2.3 BF-spline Ritz 法による固有方程式の定式化

均質かつ等方性である長方形 Mindlin 板のひずみエネルギー U は、次式で与えられる²²⁾。

$$\begin{aligned} U &= \frac{D}{2} \left(\frac{a}{b} \right) \int_0^1 \int_0^1 \left\{ \left(\frac{b}{a} \right)^2 \left(\frac{\partial \phi_x}{\partial \xi} \right)^2 + \left(\frac{\partial \phi_y}{\partial \eta} \right)^2 \right. \\ &\quad + \nu \left(\frac{b}{a} \right) \left\{ \left(\frac{\partial \phi_x}{\partial \xi} \right) \left(\frac{\partial \phi_y}{\partial \eta} \right) + \left(\frac{\partial \phi_y}{\partial \eta} \right) \left(\frac{\partial \phi_x}{\partial \xi} \right) \right\} \\ &\quad + \frac{1-\nu}{2} \left\{ \left(\frac{\partial \phi_x}{\partial \eta} \right) + \left(\frac{b}{a} \right) \left(\frac{\partial \phi_y}{\partial \xi} \right) \right\}^2 \\ &\quad + 6\kappa(1-\nu) \left(\frac{b}{h} \right)^2 \left[\left\{ \left(\frac{b}{a} \right) \left(\frac{\partial W}{\partial \xi} \right) + \phi_x \right\}^2 \right. \\ &\quad \left. + \left\{ \left(\frac{\partial W}{\partial \eta} \right) + \phi_y \right\}^2 \right] \left. \right\} d\eta d\xi \\ &= \frac{D}{2} \left(\frac{a}{b} \right) \{ \Delta \}_{mn}^T [K]_{mnrs} \{ \Delta \}_{rs} \end{aligned} \quad (10)$$

ここで、 $[K]_{mnrs}$ は剛性マトリックス、 D は板の曲げ剛性である。また、 κ と ν はそれぞれせん断修正係数とポアソン比である。

また、このMindlin板の運動エネルギー T は、調和振動を仮定すれば、次式で与えられる。

$$T = \frac{1}{2} \rho h \omega^2 ab^3 \int_0^1 \int_0^1 \left\{ W^2 + \frac{1}{12} \left(\frac{b}{h} \right)^2 (\phi_x^2 + \phi_y^2) \right\} d\eta d\xi \\ = \frac{1}{2} \rho h \omega^2 ab^3 \{\Delta\}_{mn}^T [M]_{mnrs} \{\Delta\}_{rs} \quad (11)$$

ここで、 $[M]_{mnrs}$ は質量マトリックスであり、また、 ρ は密度、 ω は円振動数(rad/sec)である。

長方形 Mindlin 板の全ポテンシャルエネルギー Π は式(10)および式(11)を用いて、次式で与えられる。

$$\Pi = U - T \quad (12)$$

ここで、 U と T はそれぞれ、ひずみエネルギーと運動エネルギーである。

したがって、Ritz 法を適用して、 Π を未定係数ベクトルで極値化すれば、次の固有方程式が得られる。

$$\partial\Pi/\partial\{\Delta\}_{rs}^T = \left([K]_{mnrs} - n^{*2} [M]_{mnrs} \right) \{\Delta\}_{mn} = 0 ; \\ m, r = 1, 2, \dots, i_x, \quad n, s = 1, 2, \dots, i_y \quad (13)$$

ここで、

$$\{\Delta\}_{mn} = \{\{\delta_A\}_{mn}, \{\delta_B\}_{mn}, \{\delta_C\}_{mn}\}^T \quad (14-a)$$

$$\begin{aligned} \{\delta_A\}_{mn} &= \{A_{11}, A_{12}, \dots, A_{i_x i_y}\}^T, \\ \{\delta_B\}_{mn} &= \{B_{11}, B_{12}, \dots, B_{i_x i_y}\}^T, \\ \{\delta_C\}_{mn} &= \{C_{11}, C_{12}, \dots, C_{i_x i_y}\}^T \end{aligned} \quad (14-b)$$

また、 n^* は振動数パラメータであり、次式で定義する。

$$n^* = \omega b^2 \sqrt{\rho h / D} \quad (15)$$

式(10)と式(11)に示す剛性マトリックス $[K]_{mnrs}$ および質量マトリックス $[M]_{mnrs}$ は、それぞれ式(16)と式(17)で示すサブマトリックスで表される。

$$[K]_{mnrs} = \begin{bmatrix} [K_{\phi_x \phi_x}] & [K_{\phi_x \phi_y}] & [K_{\phi_x W}] \\ [K_{\phi_y \phi_x}] & [K_{\phi_y \phi_y}] & [K_{\phi_y W}] \\ [K_W \phi_x] & [K_W \phi_y] & [K_{WW}] \end{bmatrix} \quad (16)$$

$$[M]_{mnrs} = \begin{bmatrix} [M_{\phi_x \phi_x}] & [0] & [0] \\ [0] & [M_{\phi_y \phi_y}] & [0] \\ [0] & [0] & [M_{WW}] \end{bmatrix} \quad (17)$$

これらのサブマトリックスは、Legendre-Gauss の数値積分公式により求めている。ここで、 ξ および η 方向の積分点数 n は $k+2$ を採用しており、 k はspline 階数である。

付録には、サブ剛性マトリックス $[K_{ij}]$ およびサブ質量マトリックス $[M_{ij}]$ が示してある。ここで、一般に、全体関数を仮定したRitz 法では、得られる係数行列は対称のフルマトリックスになるが、本手法では、 $[K]_{mnrs}$ と $[M]_{mnrs}$ の大きさは $3(k-2+M_x)(k-2+M_y)$ で表され、常に対称のバンドマトリックスになる。

したがって、式(18)の振動方程式を解けば、固有値および固有ベクトルが求められる。

$$\det(\mathbf{K} - n^{*2} \mathbf{M}) = 0 \quad (18)$$

なお、固有値計算にはHouseholder-QR 法を用いており、固有ベクトルは逆反復法で求めている。

3. 数値計算例および考察

ここでは、任意の境界条件を有する長方形 Mindlin 板の自由振動解析への本手法(BF-spline Ritz 法)の適用について検討するために、本手法の解の収束性と精度比較について示す。また、既に提案されている仮想バネ法を用いたB-spline Ritz 法(AS-spline Ritz 法)¹³⁾との解の収束性の相違について検討する。さらに、種々の境界条件を有する長方形 Mindlin 板の振動特性に与える幅厚比 b/h 、辺長比 a/b や境界条件の影響についても示す。

ここで、長方形板の4辺で与えられる境界条件は、例えば、CS-FS のように表し、それぞれ ξ 軸に垂直な2つ境界辺($\xi=0, 1$)で固定辺(C)、単純支持辺(S)であり、 η 軸に垂直な2つの境界辺($\eta=0, 1$)で自由辺(F)、単純支持辺(S)に相当している。

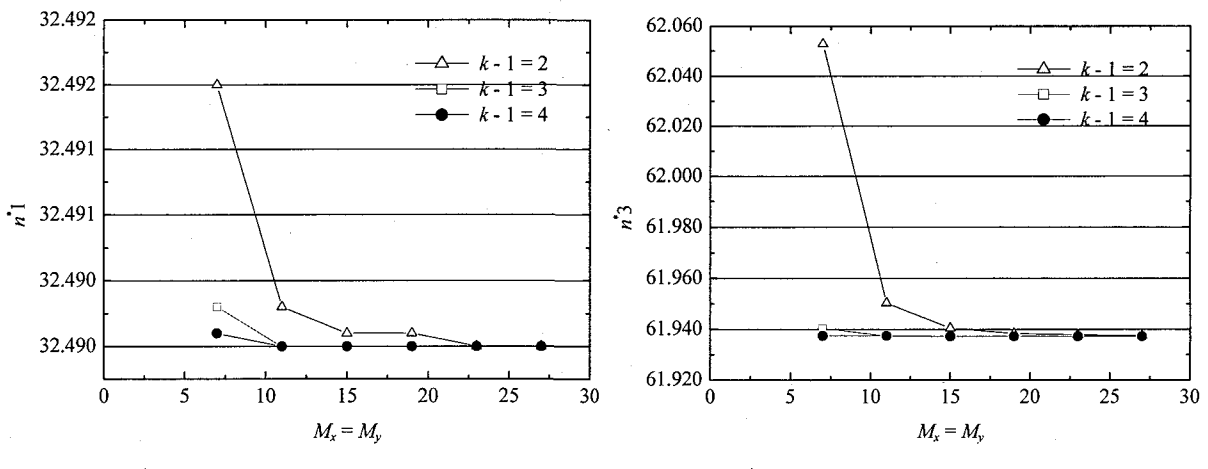
3.1 本手法の解の収束性

まず、本手法の解の収束性に与える spline 次数 $k-1$ の影響について検討する。図-2 には、周辺固定された正方形厚板(CC-CC, $a/b=1$)の基本振動数パラメータ n_1^* と3次の振動数パラメータ n_3^* の収束性に与える spline 次数 $k-1$ の影響が示されている。ただし、 $b/h=10$ 、区分点の数 $M_x=M_y$ は7から27まで変化させ、また $k-1$ は2次から4次まで変えている。

これより、spline 次数を高めれば、収束が早くなり、少ない区分点の数で収束値が得られている。

次に、種々の幅厚比 b/h に対しても同様の収束状態が得られるか確認する。表-2 には、周辺固定された正方形板(CC-CC, $a/b=1$)の1次から10次までの振動数パラメータ n^* の収束性に与える区分点の数 $M_x \times M_y$ の影響が示してある。ここで、幅厚比 b/h は5, 10, 100, 1000に仮定し、また区分点の数 $M_x=M_y$ は7から35まで変化させ、spline 次数 $k-1$ は2次、3次、4次に仮定している。

これより、幾何学的境界条件を自動的に満足させた本手法(BF-spline Ritz 法)の解は、幅厚比 b/h および振動次数に係わらず、少ない区分点の数で収束値が得られている。



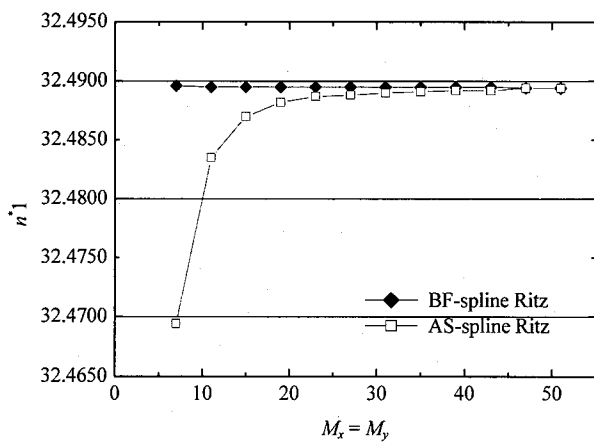
(a) n_1^* の収束性に与える $k-1$ の影響
 (b) n_3^* の収束性に与える $k-1$ の影響
 図-2 振動数パラメータ n^* の収束性に与える $k-1$ の影響 : $a/b=1, b/h=10, \nu=0.3, \kappa=\pi^2/12, \text{CC-CC}$

表-2 周辺固定された正方形厚板の振動数パラメータ n^* の収束性 : $a/b=1, \nu=0.3, \kappa=\pi^2/12, \text{CC-CC}$

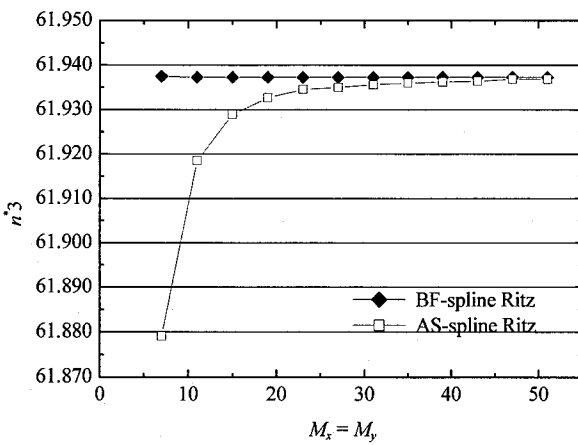
| b/h | $k-1$ | $M_x=M_y$ | Modes | | | | | | | | | |
|-------|-------|-----------|---------|---------|---------|---------|---------|---------|---------|---------|---------|---------|
| | | | 1st | 2nd | 3rd | 4th | 5th | 6th | 7th | 8th | 9th | 10th |
| 5 | 4 | 7 | 26.4534 | 46.1349 | 46.1349 | 61.9297 | 70.5489 | 71.5216 | 83.6970 | 83.6970 | 98.3907 | 98.3907 |
| | | 11 | 26.4534 | 46.1349 | 46.1349 | 61.9297 | 70.5488 | 71.5215 | 83.6970 | 83.6970 | 98.3885 | 98.3885 |
| | | 15 | 26.4534 | 46.1349 | 46.1349 | 61.9297 | 70.5488 | 71.5214 | 83.6969 | 83.6969 | 98.3885 | 98.3885 |
| | | 19 | 26.4534 | 46.1349 | 46.1349 | 61.9297 | 70.5488 | 71.5214 | 83.6969 | 83.6969 | 98.3885 | 98.3885 |
| | | 23 | 26.4534 | 46.1349 | 46.1349 | 61.9297 | 70.5488 | 71.5214 | 83.6969 | 83.6969 | 98.3885 | 98.3885 |
| | | 27 | 26.4534 | 46.1349 | 46.1349 | 61.9297 | 70.5488 | 71.5214 | 83.6969 | 83.6969 | 98.3885 | 98.3885 |
| 10 | 2 | 7 | 32.4915 | 62.0529 | 62.0529 | 86.9047 | 103.594 | 104.612 | 124.650 | 124.650 | 157.338 | 158.224 |
| | | 11 | 32.4898 | 61.9503 | 61.9503 | 86.7933 | 102.342 | 103.325 | 123.701 | 123.701 | 151.224 | 151.224 |
| | | 15 | 32.4896 | 61.9405 | 61.9405 | 86.7821 | 102.238 | 103.218 | 123.620 | 123.620 | 150.667 | 150.667 |
| | | 19 | 32.4896 | 61.9384 | 61.9384 | 86.7796 | 102.218 | 103.197 | 123.604 | 123.604 | 150.566 | 150.566 |
| | | 23 | 32.4895 | 61.9378 | 61.9378 | 86.7788 | 102.212 | 103.190 | 123.599 | 123.599 | 150.536 | 150.536 |
| | | 27 | 32.4895 | 61.9375 | 61.9375 | 86.7785 | 102.209 | 103.188 | 123.597 | 123.597 | 150.525 | 150.525 |
| 100 | 3 | 7 | 32.4898 | 61.9404 | 61.9404 | 86.7819 | 102.306 | 103.290 | 123.664 | 123.664 | 151.711 | 151.711 |
| | | 11 | 32.4895 | 61.9374 | 61.9374 | 86.7784 | 102.209 | 103.188 | 123.597 | 123.597 | 150.544 | 150.544 |
| | | 15 | 32.4895 | 61.9373 | 61.9373 | 86.7782 | 102.207 | 103.186 | 123.596 | 123.596 | 150.517 | 150.517 |
| | | 19 | 32.4895 | 61.9373 | 61.9373 | 86.7782 | 102.207 | 103.185 | 123.596 | 123.596 | 150.515 | 150.515 |
| | | 23 | 32.4895 | 61.9373 | 61.9373 | 86.7782 | 102.207 | 103.185 | 123.596 | 123.596 | 150.515 | 150.515 |
| | | 27 | 32.4895 | 61.9373 | 61.9373 | 86.7782 | 102.207 | 103.185 | 123.596 | 123.596 | 150.515 | 150.515 |
| 1000 | 4 | 7 | 32.4896 | 61.9375 | 61.9375 | 86.7786 | 102.215 | 103.194 | 123.601 | 123.601 | 150.714 | 150.714 |
| | | 11 | 32.4895 | 61.9373 | 61.9373 | 86.7782 | 102.207 | 103.186 | 123.596 | 123.596 | 150.516 | 150.516 |
| | | 15 | 32.4895 | 61.9373 | 61.9373 | 86.7782 | 102.207 | 103.185 | 123.596 | 123.596 | 150.515 | 150.515 |
| | | 19 | 32.4895 | 61.9373 | 61.9373 | 86.7782 | 102.207 | 103.185 | 123.596 | 123.596 | 150.514 | 150.514 |
| | | 23 | 32.4895 | 61.9373 | 61.9373 | 86.7782 | 102.207 | 103.185 | 123.596 | 123.596 | 150.514 | 150.514 |
| | | 27 | 32.4895 | 61.9373 | 61.9373 | 86.7782 | 102.207 | 103.185 | 123.596 | 123.596 | 150.514 | 150.514 |
| 1000 | 4 | 7 | 35.9422 | 73.2455 | 73.2455 | 107.899 | 131.599 | 132.242 | 164.615 | 164.615 | 216.318 | 216.318 |
| | | 11 | 35.9419 | 73.2375 | 73.2375 | 107.889 | 131.133 | 131.764 | 164.298 | 164.298 | 209.627 | 209.627 |
| | | 15 | 35.9419 | 73.2372 | 73.2372 | 107.888 | 131.125 | 131.757 | 164.292 | 164.292 | 209.457 | 209.457 |
| | | 19 | 35.9419 | 73.2372 | 73.2372 | 107.888 | 131.125 | 131.756 | 164.291 | 164.291 | 209.450 | 209.450 |
| | | 23 | 35.9418 | 73.2371 | 73.2371 | 107.888 | 131.125 | 131.756 | 164.291 | 164.291 | 209.450 | 209.450 |
| | | 27 | 35.9418 | 73.2371 | 73.2371 | 107.888 | 131.125 | 131.756 | 164.291 | 164.291 | 209.450 | 209.450 |
| 1000 | 4 | 7 | 35.9859 | 73.4306 | 73.4306 | 108.250 | 133.370 | 134.041 | 166.159 | 166.159 | 221.263 | 229.190 |
| | | 11 | 35.9849 | 73.3946 | 73.3946 | 108.217 | 131.695 | 132.323 | 165.074 | 165.074 | 212.610 | 212.610 |
| | | 15 | 35.9848 | 73.3925 | 73.3925 | 108.214 | 131.587 | 132.211 | 165.001 | 165.001 | 210.704 | 210.704 |
| | | 19 | 35.9848 | 73.3923 | 73.3923 | 108.213 | 131.578 | 132.202 | 164.994 | 164.994 | 210.538 | 210.538 |
| | | 23 | 35.9848 | 73.3923 | 73.3923 | 108.213 | 131.577 | 132.201 | 164.994 | 164.994 | 210.517 | 210.517 |
| | | 27 | 35.9848 | 73.3923 | 73.3923 | 108.213 | 131.577 | 132.201 | 164.994 | 164.994 | 210.517 | 210.517 |
| | | 31 | 35.9848 | 73.3923 | 73.3923 | 108.213 | 131.576 | 132.200 | 164.993 | 164.993 | 210.512 | 210.512 |
| | | 35 | 35.9848 | 73.3923 | 73.3923 | 108.213 | 131.576 | 132.200 | 164.993 | 164.993 | 210.511 | 210.511 |

表-3 片持ちMindlin板の振動数パラメータ n^* の収束性 : $a/b=1, k-1=4, \nu=0.3, \kappa=\pi^2/12$, CF-FF

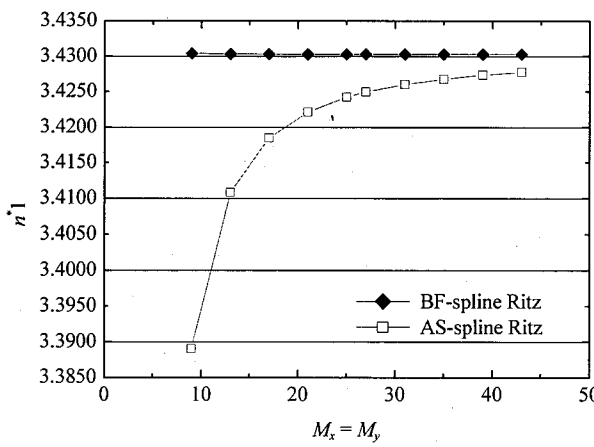
| b/h | $M_x=M_y$ | Modes | | | | | | | | | |
|-------|-----------|---------|---------|---------|---------|---------|---------|---------|---------|---------|---------|
| | | 1st | 2nd | 3rd | 4th | 5th | 6th | 7th | 8th | 9th | 10th |
| 5 | 9 | 3.33825 | 7.33990 | 17.5457 | 22.4433 | 23.8451 | 38.2646 | 42.4944 | 45.2982 | 48.2164 | 59.3992 |
| | 13 | 3.33816 | 7.33981 | 17.5455 | 22.4433 | 23.8449 | 38.2643 | 42.4942 | 45.2980 | 48.2160 | 59.3985 |
| | 17 | 3.33812 | 7.33977 | 17.5454 | 22.4433 | 23.8448 | 38.2642 | 42.4941 | 45.2979 | 48.2159 | 59.3983 |
| | 21 | 3.33810 | 7.33975 | 17.5453 | 22.4433 | 23.8447 | 38.2642 | 42.4940 | 45.2979 | 48.2159 | 59.3983 |
| | 25 | 3.33809 | 7.33973 | 17.5453 | 22.4433 | 23.8447 | 38.2642 | 42.4940 | 45.2979 | 48.2159 | 59.3983 |
| | 27 | 3.33808 | 7.33973 | 17.5453 | 22.4433 | 23.8447 | 38.2642 | 42.4940 | 45.2979 | 48.2159 | 59.3983 |
| 10 | 5 | 3.43089 | 8.06885 | 20.0870 | 25.5119 | 28.2657 | 47.6086 | 54.1019 | 57.1250 | 61.6243 | 78.3750 |
| | 9 | 3.43041 | 8.05765 | 20.0793 | 25.4886 | 28.2259 | 47.4897 | 54.0578 | 56.9682 | 61.4945 | 78.0560 |
| | 13 | 3.43034 | 8.05701 | 20.0787 | 25.4877 | 28.2236 | 47.4844 | 54.0565 | 56.9658 | 61.4904 | 78.0481 |
| | 17 | 3.43031 | 8.05692 | 20.0785 | 25.4877 | 28.2232 | 47.4838 | 54.0562 | 56.9656 | 61.4898 | 78.0475 |
| | 21 | 3.43029 | 8.05688 | 20.0785 | 25.4877 | 28.2231 | 47.4837 | 54.0561 | 56.9655 | 61.4896 | 78.0474 |
| | 25 | 3.43028 | 8.05686 | 20.0784 | 25.4876 | 28.2230 | 47.4837 | 54.0560 | 56.9655 | 61.4895 | 78.0474 |
| 1000 | 27 | 3.43028 | 8.05685 | 20.0784 | 25.4876 | 28.2230 | 47.4836 | 54.0560 | 56.9655 | 61.4895 | 78.0474 |
| | 9 | 3.47205 | 8.51048 | 21.2971 | 27.2462 | 30.9762 | 54.3319 | 61.7495 | 65.2464 | 71.6959 | 94.7475 |
| | 13 | 3.47130 | 8.50768 | 21.2873 | 27.2011 | 30.9602 | 54.1986 | 61.2845 | 64.2174 | 71.0158 | 93.0539 |
| | 17 | 3.47111 | 8.50678 | 21.2854 | 27.1988 | 30.9565 | 54.1876 | 61.2576 | 64.1485 | 70.9715 | 92.9391 |
| | 21 | 3.47105 | 8.50638 | 21.2846 | 27.1984 | 30.9549 | 54.1844 | 61.2543 | 64.1418 | 70.9644 | 92.9266 |
| | 25 | 3.47102 | 8.50616 | 21.2842 | 27.1982 | 30.9541 | 54.1828 | 61.2533 | 64.1407 | 70.9617 | 92.9236 |
| 31 | 27 | 3.47101 | 8.50608 | 21.2841 | 27.1981 | 30.9538 | 54.1822 | 61.2531 | 64.1404 | 70.9609 | 92.9228 |
| | 31 | 3.47100 | 8.50597 | 21.2839 | 27.1980 | 30.9533 | 54.1813 | 61.2528 | 64.1402 | 70.9598 | 92.9217 |



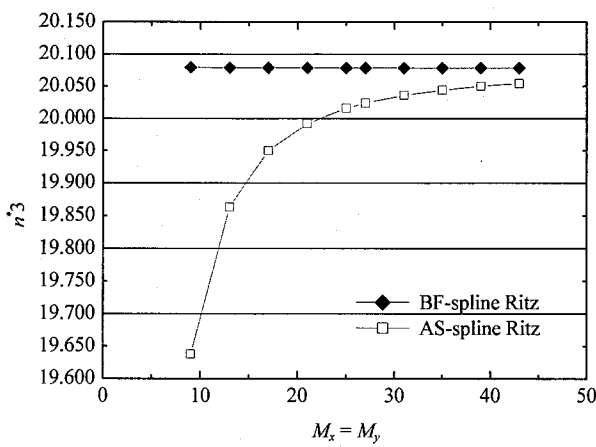
(a) 基本振動数パラメータ n_1^* の収束性の比較



(b) 3次振動数パラメータ n_3^* の収束性の比較 : $a/b=1, b/h=10, k-1=4, \nu=0.3, \kappa=\pi^2/12$, CC-CC



(a) 基本振動数パラメータ n_1^* の収束性の比較



(b) 3次振動数パラメータ n_3^* の収束性の比較 : $a/b=1, b/h=10, k-1=4, \nu=0.3, \kappa=\pi^2/12$, CF-FF

表-4 正方形 Mindlin 板の振動数パラメータ n^* の精度比較 : $a/b = 1, k-1 = 4, M_x = M_y = 25, \nu = 0.3, \kappa = 0.8667$

| B. C. | b/h | Modes | | | | | | | | | |
|-------|----------------------|----------|----------|----------|----------|----------|----------|----------|----------|----------|----------|
| | | 1st | 2nd | 3rd | 4th | 5th | 6th | 7th | 8th | 9th | 10th |
| CC-SS | 1000 | 28.95059 | 54.74238 | 69.32573 | 94.58311 | 102.2142 | 129.0918 | 140.2003 | 154.7703 | 170.3430 | 199.8019 |
| | Leissa ⁶⁾ | 28.9509 | 54.7431 | 69.3270 | 94.5853 | 102.2162 | 129.0955 | 140.2045 | 154.7752 | | |
| | Exact ³⁾ | 28.9505 | 54.7423 | 69.3257 | 94.5831 | 102.2141 | 129.0914 | 140.2002 | 154.7700 | | |
| | 100 | 28.92496 | 54.67434 | 69.19860 | 94.36864 | 102.0112 | 128.6907 | 139.7821 | 154.2164 | 169.8081 | 198.9371 |
| | Exact | 28.9250 | 54.6743 | 69.1986 | 94.3686 | 102.0112 | 128.6906 | 139.7820 | 154.2163 | 169.8080 | |
| | 10 | 26.73694 | 49.26064 | 59.48013 | 79.19508 | 87.20719 | 102.0186 | 112.6778 | 119.7031 | 135.3588 | 149.3531 |
| | Exact | 26.7369 | 49.2606 | 59.4801 | 79.1951 | 87.2072 | 102.0186 | 112.6777 | 119.7031 | 135.3588 | |
| CF-SS | 5 | 22.50991 | 40.13838 | 45.05690 | 59.12267 | 66.37057 | 71.39039 | 81.14926 | 83.11869 | 96.08455 | 99.72336 |
| | Exact | 22.5099 | 40.1384 | 45.0569 | 59.1227 | 66.3706 | 71.3904 | 81.1493 | 83.1187 | 96.0845 | |
| | 1000 | 12.68720 | 33.06432 | 41.70137 | 63.01322 | 72.39579 | 90.60953 | 103.1579 | 111.8932 | 131.4263 | 152.7670 |
| | Leissa | 12.6874 | 33.0651 | 41.7019 | 63.0148 | 72.3976 | 90.6114 | 103.1617 | 111.8964 | 131.4287 | |
| | Exact | 12.6862 | 33.0600 | 41.6993 | 63.0064 | 72.3896 | 90.6054 | 103.1439 | 111.8848 | 131.4175 | |
| | 100 | 12.67507 | 33.00227 | 41.65197 | 62.87529 | 72.23080 | 90.42899 | 102.8227 | 111.5885 | 131.0107 | 152.1675 |
| | Exact | 12.6728 | 32.9925 | 41.6472 | 62.8595 | 72.2171 | 90.41940 | 102.7904 | 111.5689 | 130.9964 | |
| FF-SS | 10 | 12.26060 | 30.47426 | 38.71284 | 55.97355 | 62.95274 | 78.81199 | 86.27131 | 94.09057 | 106.1656 | 121.6423 |
| | Exact | 12.2606 | 30.4743 | 38.7128 | 55.9736 | 62.9527 | 78.8120 | 86.2713 | 94.09060 | 106.1656 | |
| | 5 | 11.39313 | 25.89750 | 33.07474 | 45.04449 | 48.89111 | 61.30141 | 64.61475 | 70.72017 | 76.05733 | 87.00458 |
| | Exact | 11.3931 | 25.8975 | 33.0747 | 45.0445 | 48.8911 | 61.3014 | 64.6148 | 70.72020 | 76.05730 | |
| | 1000 | 9.631339 | 16.13438 | 36.72444 | 38.94455 | 46.73713 | 70.73751 | 75.28141 | 87.98508 | 96.03799 | 111.0206 |
| | Leissa | 9.6314 | 16.1348 | 36.7256 | 38.9450 | 46.7381 | 70.7401 | 75.2834 | 87.9867 | 96.0405 | |
| | Exact | 9.6311 | 16.1313 | 36.7161 | 38.9433 | 46.7317 | 70.7222 | 75.2692 | 87.9819 | 96.0288 | |
| FF-SS | 100 | 9.627585 | 16.10412 | 36.63054 | 38.90724 | 46.65234 | 70.52101 | 75.08293 | 87.82257 | 95.79972 | 110.5708 |
| | Exact | 9.627000 | 16.09710 | 36.61120 | 38.90430 | 46.63930 | 70.48460 | 75.05540 | 87.81510 | 95.77770 | |
| | 10 | 9.445770 | 15.40539 | 33.91605 | 36.42458 | 42.88701 | 62.33041 | 66.37198 | 76.90421 | 82.71899 | 92.97177 |
| | Exact | 9.4458 | 15.4054 | 33.9160 | 36.4246 | 42.8870 | 62.3304 | 66.3720 | 76.9042 | 82.7190 | |
| | 5 | 8.999676 | 14.13408 | 29.25582 | 31.43376 | 36.16462 | 49.89530 | 52.80120 | 60.10637 | 63.79605 | 69.97570 |
| | Exact | 8.9997 | 14.1341 | 29.2558 | 31.4338 | 36.1646 | 49.8953 | 52.8012 | 60.1064 | 63.7960 | |

また、かなり薄肉の $b/h = 1000$ に対しても一様な収束状態が得られている。

以後の数値計算では、spline 次数 $k-1$ は 4 次を用いる。

表-3 には、片持ち正方形板(CF-FF, $a/b = 1$)の 1 次から 10 次までの振動数パラメータ n^* の収束性に与える区分点の数 $M_x \times M_y$ の影響が示してある。ここで、幅厚比 b/h は 5, 10, 1000 に仮定し、また区分点の数 $M_x = M_y$ は 7 から 31 まで変化させている。

これより、表-2 とほぼ同様の収束状態が得られているが、周辺固定正方形板は、有効数字 6 術程度まで収束値が得られているのに対して、片持ち正方形板では、有効数字 5 術程度となっている。この原因は、前者は満たすべき境界条件は幾何学的境界条件のみであり、これは許容関数によって全て満たされている。他方、後者は自由辺を含むので満たすべき境界条件に力学的境界条件が必要になる。Ritz 法では、級数項を無限に取った場合に近似的な意味で力学的境界条件が満たされるため、異なった収束状態が得られているものと考えられる。

3.2 本手法と AS-spline Ritz 法の解の収束性の相違

ここでは、本手法(BF-spline Ritz 法)と既に提案されている仮想バネ法を用いた B-spline Ritz 法(AS-spline Ritz 法)¹³⁾との収束状態を比較し、境界条件の処理方法が解の収束性に与える影響について検討する。図-3 および図-4 には、それぞれ周辺固定された正方形厚板(CC-CC, $a/b = 1$)と BF-spline Ritz 法と AS-spline Ritz 法¹³⁾を用いて求めた基本振動数パラメータ n_1^* と 3 次の振動数パラメータ n_3^* の収束性の比較が示されている。ただし、 $b/h = 10$ に仮定して、

区分点の数 $M_x = M_y$ は 7 から 51 まで変化させている。ここで、B-spline 関数の導関数の連続性を同一にし、境界条件の処理方法の比較をするために両方法とも $k-1=4$ を用いている。しかしながら、BF-spline Ritz 法では、2 次の境界関数を B-spline 関数に乘じているので、6 次以下の区分的多項式になっていることに留意する。

これより、幾何学的境界条件を自動的に満足させた BF-spline Ritz 法の解は、早い収束状態を示し、比較的少ない区分点で収束値が得られている。これに対して、AS-spline Ritz 法では、それぞれわみと 2 つの回転角に対応する仮想バネを固定辺上の区分点に導入するので、区分点を増大させると、比較的遅く一定値に向かった下方からの収束状態が得られている。したがって、Ritz 法の試験関数として、全体関数および局所関数を問わず、幾何学的境界条件を自動的に満足させた許容関数を適用した方が、少ない未知数で、解の収束を早めることができる。

3.3 本手法の解の精度比較

表-4 には、相対する 2 辺が単純支持され、他の 2 辺がそれぞれ固定、単純支持および自由である正方形 Mindlin 板の振動数パラメータの精度比較が示してある。ここで、 $\kappa = 0.86667$, $M_x = M_y = 25$ にとり、また b/h は、1000 から 5 まで変化させてある。比較のために、Hashemi・Arsanjani により求められた Mindlin 板の厳密解³⁾と Leissa による薄板の厳密解⁶⁾が示してある。

表-5 長方形 Mindlin 板の振動数パラメータ n^* の精度比較 : $k=4$, $M_x=M_y=25$, $\nu=0.3$, $\kappa=5/6$

| B. C. | a/b | b/h | Modes | | | | | | | | | |
|-------|-------|--------------------------|----------|----------|---------|---------|---------|---------|---------|---------|----------|---------|
| | | | 1st | 2nd | 3rd | 4th | 5th | 6th | 7th | 8th | 9th | 10th |
| CC-CC | 1 | 5 | 26.5241 | 46.2956 | 46.2956 | 62.1636 | 70.8310 | 71.8103 | 84.0440 | 84.0440 | 98.8200 | 98.8200 |
| | | pb-Ritz ¹⁰⁾ | 26.525 | 46.295 | 46.295 | 62.164 | 70.831 | 71.810 | 84.045 | 84.045 | 98.8204 | 98.8204 |
| | | DSC-Ritz ²³⁾ | 26.525 | 46.296 | 46.296 | 62.165 | 70.831 | 71.811 | | | | |
| | 2 | 10 | 32.5243 | 62.0386 | 62.0386 | 86.9490 | 102.434 | 103.412 | 123.892 | 123.892 | 150.923 | 150.923 |
| | | pb-Ritz | 32.524 | 62.038 | 62.038 | 86.949 | 102.435 | 103.412 | 123.892 | 123.892 | 150.924 | 150.924 |
| | | DSC-Ritz | 32.524 | 62.041 | 62.041 | 86.960 | 102.436 | 103.414 | | | | |
| | 3 | 1000 | 35.9848 | 73.3923 | 73.3923 | 108.213 | 131.576 | 132.200 | 164.993 | 164.993 | 210.512 | 210.512 |
| | | pb-Ritz | 35.988 | 73.394 | 73.394 | 108.217 | 131.577 | 132.204 | 164.997 | 164.997 | 210.515 | 210.515 |
| | | Thin plate ⁶⁾ | 35.992 | 73.413 | 73.413 | 108.27 | 131.64 | 132.24 | | | | |
| CF-FF | 1 | 5 | 19.2406 | 24.2046 | 32.4722 | 41.4992 | 43.1359 | 45.3840 | 51.7742 | 55.3676 | 60.3413 | 67.7899 |
| | | pb-Ritz | 19.241 | 24.204 | 32.481 | 41.499 | 43.136 | 45.384 | 51.774 | 55.368 | 60.342 | 67.790 |
| | | DSC-Ritz | 19.241 | 24.205 | 32.473 | 41.500 | 43.138 | 45.386 | | | | |
| | 2 | 10 | 22.7912 | 29.1303 | 40.1772 | 54.9811 | 55.3340 | 60.4566 | 69.7281 | 73.7978 | 82.6665 | 94.8790 |
| | | pb-Ritz | 22.791 | 29.130 | 40.177 | 54.981 | 55.335 | 60.457 | 69.729 | 73.799 | 82.668 | 94.890 |
| | | DSC-Ritz | 22.792 | 29.134 | 40.180 | 54.983 | 55.344 | 60.466 | | | | |
| | 3 | 1000 | 24.5775 | 31.8257 | 44.7691 | 63.3303 | 63.9820 | 71.0749 | 83.2709 | 87.2566 | 100.7900 | 116.388 |
| | | pb-Ritz | 24.581 | 31.828 | 44.772 | 63.332 | 63.984 | 71.078 | 83.274 | 87.293 | 100.799 | 116.546 |
| | | Sigillito ²⁴⁾ | 3.33924 | 7.347782 | 17.5723 | 22.4683 | 23.8881 | 38.3427 | 42.6035 | 45.3956 | 48.3259 | 59.5436 |
| | 4 | 5 | 3.340 | 7.348 | 17.574 | 22.468 | 23.889 | 38.344 | 42.605 | 45.396 | 48.328 | 59.546 |
| | | pb-Ritz | 3.340 | 7.348 | 17.574 | 22.468 | 23.889 | 38.344 | 42.605 | 45.396 | 48.328 | 59.546 |
| | | Thin plate | 3.4917 | 8.5246 | 21.429 | 27.331 | 31.111 | 54.443 | | | | |
| CF-SF | 1 | 5 | 3.43064 | 8.06026 | 20.0888 | 25.4992 | 28.2441 | 47.5302 | 54.1156 | 57.0138 | 61.5590 | 78.1431 |
| | | pb-Ritz | 3.4307 | 8.0615 | 20.091 | 25.499 | 28.247 | 47.534 | 54.119 | 57.016 | 61.568 | 78.149 |
| | | Thin plate | 3.47100 | 8.50597 | 21.2839 | 27.1980 | 30.9534 | 54.1814 | 61.2528 | 64.1402 | 70.9599 | 92.9218 |
| | 2 | 1000 | 3.5027 | 8.5214 | 21.298 | 27.204 | 30.972 | 54.203 | 61.267 | 64.144 | 70.994 | 92.932 |
| | | pb-Ritz | 3.4917 | 8.5246 | 21.429 | 27.331 | 31.111 | 54.443 | | | | |
| | | Sigillito ²⁴⁾ | 3.4729 | | 21.304 | 27.291 | | 54.262 | 61.276 | | | |
| | 3 | 5 | 0.847793 | 3.31683 | 5.05690 | 10.4523 | 13.2794 | 19.0387 | 20.1737 | 24.0809 | 25.6266 | 29.4377 |
| | | pb-Ritz | 0.8478 | 3.317 | 5.057 | 10.453 | 13.281 | 19.040 | 20.173 | 24.082 | 25.627 | 29.440 |
| | | Thin plate | 5 | 0.855547 | 3.54606 | 5.27217 | 11.4343 | 14.5051 | 21.6128 | 22.2782 | 27.7457 | 29.4858 |
| | 4 | 10 | 0.85557 | 3.5461 | 5.2723 | 11.436 | 14.506 | 21.617 | 22.279 | 27.748 | 29.489 | 34.926 |
| | | pb-Ritz | 0.8557 | 3.5461 | 5.2723 | 11.436 | 14.506 | 21.617 | 22.279 | 27.748 | 29.489 | 34.926 |
| | | Sigillito | 0.8604 | | 5.3618 | | 15.048 | | 23.561 | 29.668 | | |
| CF-SF | 1 | 5 | 4.91733 | 16.2720 | 19.9557 | 31.9807 | 39.6672 | 43.9439 | 51.9149 | 54.1876 | 68.1617 | 71.0857 |
| | | pb-Ritz | 4.918 | 16.272 | 19.956 | 31.981 | 39.667 | 43.944 | 51.916 | 54.188 | 68.162 | 71.088 |
| | | Thin plate | 10 | 5.19084 | 18.0829 | 23.0573 | 38.7027 | 47.9321 | 55.9998 | 66.7099 | 70.9861 | 90.2941 |
| | 2 | 1000 | 5.191 | 18.083 | 23.058 | 38.705 | 47.933 | 56.004 | 66.713 | 70.989 | 90.298 | 97.548 |
| | | pb-Ritz | 5.191 | 18.083 | 23.058 | 38.705 | 47.933 | | | | | |
| | | Thin plate | 5.3639 | 19.171 | 24.768 | 43.191 | 53.000 | 64.050 | | | | |
| | 3 | 5 | 2.01506 | 7.06100 | 14.2535 | 15.3897 | 19.5358 | 25.7931 | 27.5325 | 37.2717 | 37.9305 | 39.1503 |
| | | pb-Ritz | 2.015 | 7.062 | 14.254 | 15.391 | 19.536 | 25.794 | 27.533 | 37.273 | 37.932 | 39.151 |
| | | Thin plate | 10 | 2.08264 | 7.50068 | 15.4752 | 16.9678 | 21.9202 | 30.0007 | 32.1564 | 45.2880 | 45.9676 |
| | 4 | 1000 | 2.0825 | 7.5019 | 15.476 | 16.970 | 21.921 | 30.005 | 32.160 | 45.296 | 45.974 | 47.339 |
| | | pb-Ritz | 2.12654 | 7.73857 | 16.0354 | 17.7404 | 23.2313 | 32.1990 | 34.8705 | 49.9613 | 50.6340 | 52.1549 |
| | | Thin plate | 2.1743 | 7.7536 | 16.042 | 17.750 | 23.237 | 32.210 | 34.876 | 49.964 | 50.645 | 52.161 |

これより、本手法で求めた解は、 b/h の値や振動次数に係わらず、厳密解に対してわずかに大きめの値を示しており、本手法の妥当性が確認できる。また、厳密解を求めることが困難な境界条件を有する長方形 Mindlin 板の振動数パラメータの精度比較が表-5 に示してある。ここで、 κ は $5/6$ に仮定している。表の中で、pb-Ritz は、Liew ら¹⁰⁾ が境界関数と直交多項式を組み合わせた許容関数を変位関数に仮定した Ritz 法により求めた値である。また、DSC-Ritz²³⁾ は、Hou らが discrete singular convolution を基底関数に仮定し、境界関数と組み合わせた許容関数を Ritz 法に適用して求めた値である。幅厚比が 1000 の場合には、はりの固有関数を変位関数に仮定し、薄板理論に基づく Ritz 法により求めた解⁶⁾ も示してある。これより、本手法で求めた解は、境界条件や幅厚比に関係なく、Liew らの直交多項式を用いて求めた解と良く一致した結果を示し

ている。また、周辺固定された長方形 Mindlin 板の精度比較より、本手法の解は、Hou らの DSC-Ritz 法の解および Liew らの pb-Ritz 法で求めた値と比較して、やや小さな値を示している。片持ち薄板には、Sigillito²⁴⁾ が Legendre 関数を併用して求めた上界値も示してある。本手法の値は、pb-Ritz 法やはり関数を仮定した Ritz 法の解と比較して、Sigillito の上界値に近い結果を示している。したがって、本手法を用いれば、長方形 Mindlin 板の振動数パラメータのより精度の高い上界値が求められる。

表-6 種々の境界条件を有する長方形 Mindlin 板の振動数パラメータ n^* のに与える幅厚比 b/h と
辺長比 a/b の影響 : $k=4, M_x=M_y=25, \nu=0.3, \kappa=\pi^2/12$

| Boundary conditions | a/b | b/h | Modes | | | | | | | | | |
|---------------------|-------|-------|---------|--------|--------|--------|--------|--------|--------|--------|--------|--------|
| | | | 1st | 2nd | 3rd | 4th | 5th | 6th | 7th | 8th | 9th | 10th |
| CC-CC | 1 | 100 | 35.942 | 73.237 | 73.237 | 107.89 | 131.13 | 131.76 | 164.29 | 164.29 | 209.46 | 209.46 |
| | | 20 | 34.971 | 69.831 | 69.831 | 101.06 | 121.63 | 122.40 | 150.16 | 150.16 | 188.31 | 188.31 |
| | | 10 | 32.490 | 61.937 | 61.937 | 86.778 | 102.21 | 103.19 | 123.60 | 123.60 | 150.51 | 150.51 |
| | | 5 | 26.453 | 46.135 | 46.135 | 61.930 | 70.549 | 71.521 | 83.697 | 83.697 | 98.389 | 98.389 |
| | 1.5 | 100 | 26.980 | 41.650 | 65.999 | 66.402 | 79.625 | 100.56 | 102.84 | 124.89 | 135.61 | 138.14 |
| | | 20 | 26.414 | 40.459 | 63.221 | 63.758 | 75.742 | 95.107 | 96.809 | 116.36 | 125.95 | 127.92 |
| | | 10 | 24.896 | 37.439 | 56.533 | 57.443 | 66.892 | 82.999 | 83.893 | 98.442 | 106.55 | 107.28 |
| | | 5 | 20.871 | 30.243 | 42.508 | 44.073 | 49.634 | 60.467 | 60.728 | 68.390 | 74.053 | 74.718 |
| | 2 | 100 | 24.557 | 31.793 | 44.712 | 63.225 | 63.866 | 70.933 | 83.081 | 87.067 | 100.52 | 116.04 |
| | | 20 | 24.079 | 31.051 | 43.412 | 60.898 | 61.257 | 67.787 | 78.955 | 83.015 | 94.836 | 109.32 |
| | | 10 | 22.772 | 29.103 | 40.133 | 54.897 | 55.262 | 60.361 | 69.612 | 73.683 | 82.519 | 94.707 |
| | | 5 | 19.196 | 24.146 | 32.387 | 41.358 | 43.009 | 45.230 | 51.597 | 55.186 | 60.129 | 67.520 |
| CF-CF | 1 | 100 | 6.9087 | 23.854 | 26.545 | 47.490 | 62.566 | 65.397 | 85.348 | 88.017 | 120.94 | 123.64 |
| | | 20 | 6.8267 | 23.324 | 26.006 | 45.694 | 60.261 | 63.021 | 80.735 | 83.457 | 113.67 | 116.12 |
| | | 10 | 6.6708 | 22.129 | 24.705 | 41.955 | 54.842 | 57.358 | 71.348 | 73.968 | 98.178 | 100.15 |
| | | 5 | 6.2392 | 18.936 | 21.179 | 33.692 | 42.790 | 44.820 | 53.417 | 55.638 | 70.314 | 71.797 |
| | 1.5 | 100 | 4.9626 | 13.215 | 23.249 | 30.066 | 34.058 | 52.084 | 55.930 | 62.556 | 72.588 | 78.260 |
| | | 20 | 4.9204 | 13.012 | 22.842 | 29.425 | 33.122 | 50.149 | 54.183 | 60.399 | 69.492 | 74.599 |
| | | 10 | 4.8406 | 12.584 | 21.816 | 27.895 | 31.072 | 46.028 | 49.969 | 55.129 | 62.600 | 66.845 |
| | | 5 | 4.6104 | 11.378 | 18.887 | 23.813 | 26.025 | 36.896 | 40.050 | 43.220 | 48.161 | 51.203 |
| | 2 | 100 | 4.2763 | 9.0808 | 18.327 | 22.703 | 28.743 | 32.859 | 39.648 | 52.095 | 54.711 | 62.010 |
| | | 20 | 4.2491 | 8.9640 | 18.038 | 22.338 | 28.070 | 32.175 | 38.450 | 50.595 | 52.722 | 59.916 |
| | | 10 | 4.1952 | 8.7320 | 17.384 | 21.373 | 26.543 | 30.506 | 35.845 | 46.945 | 48.418 | 54.741 |
| | | 5 | 4.0331 | 8.0737 | 15.531 | 18.554 | 22.562 | 26.043 | 29.631 | 38.120 | 38.847 | 42.968 |
| CF-SF | 1 | 100 | 5.3432 | 19.042 | 24.633 | 42.955 | 52.619 | 63.626 | 77.218 | 83.370 | 106.05 | 119.82 |
| | | 20 | 5.2880 | 18.733 | 24.167 | 41.567 | 51.239 | 61.358 | 73.791 | 79.363 | 101.18 | 112.24 |
| | | 10 | 5.1895 | 18.076 | 23.043 | 38.669 | 47.896 | 55.937 | 66.633 | 70.892 | 90.180 | 97.385 |
| | | 5 | 4.9139 | 16.254 | 19.922 | 31.917 | 39.592 | 43.831 | 51.787 | 54.039 | 67.974 | 70.865 |
| | 1.5 | 100 | 3.0707 | 12.064 | 17.045 | 28.401 | 29.821 | 47.761 | 50.843 | 55.650 | 62.298 | 74.639 |
| | | 20 | 3.0443 | 11.909 | 16.858 | 27.768 | 29.246 | 46.257 | 49.628 | 53.985 | 60.253 | 71.506 |
| | | 10 | 3.0011 | 11.583 | 16.413 | 26.422 | 27.847 | 43.011 | 46.559 | 49.911 | 55.621 | 64.699 |
| | | 5 | 2.8831 | 10.627 | 15.064 | 22.913 | 24.025 | 35.371 | 38.668 | 40.275 | 44.950 | 50.331 |
| | 2 | 100 | 2.1242 | 7.7303 | 16.023 | 17.723 | 23.193 | 32.158 | 34.800 | 49.887 | 50.532 | 52.078 |
| | | 20 | 2.1079 | 7.6505 | 15.863 | 17.497 | 22.785 | 31.532 | 33.959 | 48.547 | 49.128 | 50.699 |
| | | 10 | 2.0823 | 7.4988 | 15.471 | 16.961 | 21.910 | 29.982 | 32.135 | 45.250 | 45.932 | 47.294 |
| | | 5 | 2.0142 | 7.0557 | 14.241 | 15.372 | 19.512 | 25.749 | 27.486 | 37.194 | 37.851 | 39.074 |
| CF-CS | 1 | 100 | 17.517 | 35.946 | 51.722 | 70.887 | 74.136 | 105.49 | 108.95 | 124.93 | 132.34 | 163.31 |
| | | 20 | 17.257 | 34.950 | 50.139 | 67.867 | 70.980 | 99.849 | 102.44 | 117.06 | 123.81 | 150.29 |
| | | 10 | 16.612 | 32.667 | 46.234 | 61.102 | 63.838 | 87.367 | 89.092 | 100.72 | 106.06 | 125.69 |
| | | 5 | 14.734 | 27.077 | 36.985 | 47.043 | 48.957 | 63.892 | 65.054 | 72.209 | 75.276 | 87.099 |
| | 1.5 | 100 | 16.201 | 24.142 | 40.614 | 50.525 | 58.841 | 66.082 | 75.507 | 100.41 | 100.84 | 104.41 |
| | | 20 | 15.998 | 23.684 | 39.529 | 49.050 | 56.838 | 63.667 | 72.289 | 95.217 | 95.675 | 98.929 |
| | | 10 | 15.461 | 22.571 | 36.946 | 45.330 | 52.002 | 58.009 | 65.002 | 83.790 | 84.514 | 86.679 |
| | | 5 | 13.820 | 19.540 | 30.589 | 36.371 | 41.060 | 45.544 | 49.935 | 62.189 | 62.890 | 63.484 |
| | 2 | 100 | 15.795 | 20.125 | 29.130 | 43.151 | 50.158 | 54.752 | 62.272 | 63.970 | 77.959 | 86.451 |
| | | 20 | 15.609 | 19.818 | 28.537 | 42.021 | 48.718 | 53.046 | 60.186 | 61.665 | 74.644 | 82.762 |
| | | 10 | 15.104 | 19.029 | 27.076 | 39.273 | 45.053 | 48.794 | 55.197 | 56.160 | 67.080 | 74.246 |
| | | 5 | 13.533 | 16.750 | 23.189 | 32.489 | 36.179 | 38.848 | 43.881 | 44.020 | 51.469 | 56.671 |
| CF-FF | 1 | 100 | 3.4701 | 8.4845 | 21.263 | 27.150 | 30.863 | 53.962 | 61.152 | 63.996 | 70.753 | 92.513 |
| | | 20 | 3.4583 | 8.3293 | 20.935 | 26.632 | 29.995 | 51.770 | 59.112 | 61.884 | 67.845 | 87.641 |
| | | 10 | 3.4303 | 8.0569 | 20.078 | 25.488 | 28.223 | 47.484 | 54.056 | 56.966 | 61.490 | 78.047 |
| | | 5 | 3.3381 | 7.3397 | 17.545 | 22.443 | 23.845 | 38.264 | 42.494 | 45.298 | 48.216 | 59.398 |
| | 1.5 | 100 | 1.5345 | 5.1680 | 9.5358 | 17.435 | 23.769 | 27.359 | 35.564 | 37.805 | 53.069 | 59.276 |
| | | 20 | 1.5312 | 5.0846 | 9.4672 | 17.075 | 23.430 | 26.927 | 34.598 | 36.697 | 51.575 | 56.900 |
| | | 10 | 1.5243 | 4.9477 | 9.2808 | 16.401 | 22.618 | 25.783 | 32.550 | 34.489 | 47.809 | 52.142 |
| | | 5 | 1.5029 | 4.5890 | 8.6528 | 14.634 | 20.246 | 22.523 | 27.449 | 29.200 | 38.661 | 41.823 |
| | 2 | 100 | 0.85966 | 3.6914 | 5.3567 | 12.017 | 15.028 | 23.079 | 23.256 | 29.577 | 31.663 | 38.110 |
| | | 20 | 0.85825 | 3.6345 | 5.3333 | 11.804 | 14.886 | 22.585 | 22.978 | 29.053 | 30.961 | 37.094 |
| | | 10 | 0.85551 | 3.5450 | 5.2714 | 11.430 | 14.500 | 21.601 | 22.272 | 27.730 | 29.470 | 34.891 |
| | | 5 | 0.84770 | 3.3144 | 5.0542 | 10.442 | 13.265 | 19.012 | 20.158 | 24.043 | 25.593 | 29.383 |

3.4 種々の境界条件を有する長方形 Mindlin 板の振動数パラメータ

3.1, 3.2 および 3.3 で検討したように、本手法の解析精度は、区分点の数 M_x, M_y と spline 次数 $k-1$ に関係する。ここでは、厳密解を求めることが困難な 5 種類の境界条件を持つ長方形 Mindlin 板の振動解析について示す。ただし、以下に示す計算例では、 $\kappa = \pi^2/12$, $k-1=4$, $M_x=M_y=25$ を用いる。

表-6 には、それぞれ境界条件が CC-CC, CF-CF, CF-SF, CF-CS および CF-FF である長方形 Mindlin 板の振動数パラメータに与える幅厚比 b/h と辺長比 a/b の影響が示してある。ここで、 b/h は、100 から 5 まで変化させ、また a/b は、1, 1.5, 2 としている。

これより、長方形 Mindlin 板の振動数パラメータの値は、境界条件、幅厚比や辺長比に大きく依存している。また、この表に示した値は、より精度の高い上界値を示すので、他の数値解析法の解析精度を評価するためのベンチマークテストに適用できる。

4. あとがき

本論文では、自動的に幾何学的境界条件を満たした許容関数を求めるために、境界関数と B-spline 関数を組み合わせた許容関数を提案した。この許容関数を変位関数に仮定した BF-spline Ritz 法を定式化し、任意の境界条件を有する長方形 Mindlin 板の振動解析への適用について検討を行った。本手法の解の収束性や精度比較を行い、本手法の有用性および妥当性について検討した。また、厳密解を求めることが困難な境界条件を有する厚板の振動特性に与える幅厚比、辺長比や境界条件の影響についても検討を行なっている。

本論文で得られた新たな知見をまとめると、以下のとおりである。

- 1) 幾何学的境界条件を自動的に満足させる境界関数と B-spline 関数を組み合わせた許容関数を仮定する BF-spline Ritz 法は、一様な収束性を示し、またその収束値は、解析解や他の数値解析法の値と比較して、良く一致した結果が得られている。
- 2) 幾何学的境界条件に対応する仮想バネを導入する AS-spline Ritz 法の収束結果と比較して、BF-spline Ritz 法は、かなり少ない区分点の数で収束値が得られており、また spline 次数を高めれば、少ない区分点の数で収束値が得られる。
- 3) 本手法で求めた振動数パラメータは、厳密解に対してわずかに大きめの値を示し、かつ他の Ritz 法よりも小さな値であることから、長方形 Mindlin 板の振動数パラメータのより精度の高い上界値が得られている。
- 4) ベキ関数などの全体関数を仮定した Ritz 法の定式化では係数行列がフルマトリックスになるが、本手法は、局所基底で表される B-spline 関数を用いるので、得ら

れる係数行列は比較的バンド幅の小さな対称行列になる。また spline 次数を一定に保ったまま、区分点の数を増大すれば、解析精度が高められる。

最後に、本論文で示した表の振動数パラメータ n^* の値が他の数値解析法のベンチマークテストを使って頂ければ幸いである。今後、直交異方性厚板や 3 次元弾性体の振動問題や幾何学的非線形問題への本手法の適用性についても検討していきたい。

謝辞: 本研究は第一著者が日本学術振興会特別研究员奨励費の援助を、第二著者が大同工業大学研究奨励金の援助を受けて行ったものである。また、査読者からは、本論文に関する貴重なご意見およびご指摘を頂きました。ここに、記して感謝の意を表します。

付録

式(16)で与えられるサブ剛性マトリックスは、次式で与えられる。

$$[K_{\phi_x \phi_x}] = \left(\frac{b}{a} \right)^2 \left(\int_0^1 F_x^{(0)} F_x^{(1)} I_{mr}^{00} d\xi \times \int_0^1 G_x^{(0)} G_x^{(0)} J_{ns}^{00} d\eta \right. \\ + \int_0^1 F_x^{(1)} F_x^{(0)} I_{mr}^{01} d\xi \times \int_0^1 G_x^{(0)} G_x^{(0)} J_{ns}^{00} d\eta \\ + \int_0^1 F_x^{(0)} F_x^{(1)} I_{mr}^{10} d\xi \times \int_0^1 G_x^{(0)} G_x^{(0)} J_{ns}^{00} d\eta \\ + \int_0^1 F_x^{(0)} F_x^{(0)} I_{mr}^{11} d\xi \times \int_0^1 G_x^{(0)} G_x^{(0)} J_{ns}^{00} d\eta) \\ + \frac{1-\nu}{2} \left(\int_0^1 F_x^{(0)} F_x^{(0)} I_{mr}^{00} d\xi \times \int_0^1 G_x^{(1)} G_x^{(1)} J_{ns}^{00} d\eta \right. \\ + \int_0^1 F_x^{(0)} F_x^{(0)} I_{mr}^{00} d\xi \times \int_0^1 G_x^{(1)} G_x^{(0)} J_{ns}^{01} d\eta \\ + \int_0^1 F_x^{(0)} F_x^{(0)} I_{mr}^{00} d\xi \times \int_0^1 G_x^{(0)} G_x^{(1)} J_{ns}^{10} d\eta \\ + \int_0^1 F_x^{(0)} F_x^{(0)} I_{mr}^{00} d\xi \times \int_0^1 G_x^{(0)} G_x^{(0)} J_{ns}^{11} d\eta) \\ + 6(1-\nu)\kappa \left(\frac{b}{h} \right)^2 \int_0^1 F_x^{(0)} F_x^{(0)} I_{mr}^{00} d\xi \times \int_0^1 G_x^{(0)} G_x^{(0)} J_{ns}^{00} d\eta$$

$$[K_{\phi_y \phi_y}] = \nu \left(\frac{b}{a} \right) \left(\int_0^1 F_y^{(0)} F_x^{(1)} I_{mr}^{00} d\xi \times \int_0^1 G_x^{(0)} G_y^{(1)} J_{ns}^{00} d\eta \right. \\ + \int_0^1 F_y^{(0)} F_x^{(1)} I_{mr}^{00} d\xi \times \int_0^1 G_x^{(0)} G_y^{(0)} J_{ns}^{01} d\eta \\ + \int_0^1 F_y^{(0)} F_x^{(0)} I_{mr}^{10} d\xi \times \int_0^1 G_x^{(0)} G_y^{(1)} J_{ns}^{00} d\eta \\ + \int_0^1 F_y^{(0)} F_x^{(0)} I_{mr}^{10} d\xi \times \int_0^1 G_x^{(0)} G_y^{(0)} J_{ns}^{01} d\eta) \\ + \frac{1-\nu}{2} \left(\frac{b}{a} \right) \left(\int_0^1 F_x^{(0)} F_y^{(1)} I_{mr}^{00} d\xi \times \int_0^1 G_x^{(1)} G_y^{(0)} J_{ns}^{00} d\eta \right. \\ + \int_0^1 F_x^{(0)} F_y^{(0)} I_{mr}^{01} d\xi \times \int_0^1 G_x^{(1)} G_y^{(0)} J_{ns}^{00} d\eta \\ + \int_0^1 F_x^{(0)} F_y^{(1)} I_{mr}^{00} d\xi \times \int_0^1 G_x^{(0)} G_y^{(1)} J_{ns}^{10} d\eta \\ + \int_0^1 F_x^{(0)} F_y^{(0)} I_{mr}^{01} d\xi \times \int_0^1 G_x^{(0)} G_y^{(0)} J_{ns}^{10} d\eta)$$

$$\begin{aligned}
[K_{\phi_x w}] &= 6(1-\nu)\kappa \left(\frac{b}{a}\right) \left(\frac{b}{h}\right)^2 \times \\
&\quad \left(\int_0^1 F_x^{(0)} F_w^{(1)} I_{mr}^{00} d\xi \times \int_0^1 G_x^{(0)} G_w^{(0)} J_{ns}^{00} d\eta \right. \\
&\quad + \int_0^1 F_x^{(0)} F_w^{(0)} I_{mr}^{01} d\xi \times \int_0^1 G_x^{(0)} G_w^{(0)} J_{ns}^{00} d\eta \quad) \\
[K_{\phi_x \phi_x}] &= \nu \left(\frac{b}{a}\right) \left(\int_0^1 F_y^{(0)} F_x^{(1)} I_{mr}^{00} d\xi \times \int_0^1 G_y^{(1)} G_x^{(0)} J_{ns}^{00} d\eta \right. \\
&\quad + \int_0^1 F_y^{(0)} F_x^{(1)} I_{mr}^{01} d\xi \times \int_0^1 G_y^{(1)} G_x^{(0)} J_{ns}^{00} d\eta \\
&\quad + \int_0^1 F_y^{(0)} F_x^{(1)} I_{mr}^{00} d\xi \times \int_0^1 G_y^{(0)} G_x^{(0)} J_{ns}^{10} d\eta \\
&\quad + \int_0^1 F_y^{(0)} F_x^{(0)} I_{mr}^{01} d\xi \times \int_0^1 G_y^{(0)} G_x^{(0)} J_{ns}^{00} d\eta \quad) \\
&\quad + \frac{1-\nu}{2} \left(\frac{b}{a}\right) \left(\int_0^1 F_y^{(1)} F_x^{(0)} I_{mr}^{00} d\xi \times \int_0^1 G_y^{(0)} G_x^{(1)} J_{ns}^{00} d\eta \right. \\
&\quad + \int_0^1 F_y^{(1)} F_x^{(0)} I_{mr}^{01} d\xi \times \int_0^1 G_y^{(0)} G_x^{(0)} J_{ns}^{01} d\eta \\
&\quad + \int_0^1 F_y^{(0)} F_x^{(0)} I_{mr}^{10} d\xi \times \int_0^1 G_y^{(0)} G_x^{(1)} J_{ns}^{00} d\eta \\
&\quad + \int_0^1 F_y^{(0)} F_x^{(0)} I_{mr}^{10} d\xi \times \int_0^1 G_y^{(0)} G_x^{(0)} J_{ns}^{01} d\eta \\
[K_{\phi_y \phi_y}] &= \int_0^1 F_x^{(1)} F_x^{(1)} I_{mr}^{00} d\xi \times \int_0^1 G_x^{(0)} G_x^{(0)} J_{ns}^{00} d\eta \\
&\quad + \int_0^1 F_x^{(1)} F_x^{(0)} I_{mr}^{01} d\xi \times \int_0^1 G_x^{(0)} G_x^{(0)} J_{ns}^{00} d\eta \\
&\quad + \int_0^1 F_x^{(0)} F_x^{(1)} I_{mr}^{10} d\xi \times \int_0^1 G_x^{(0)} G_x^{(0)} J_{ns}^{00} d\eta \\
&\quad + \int_0^1 F_x^{(0)} F_x^{(0)} I_{mr}^{11} d\xi \times \int_0^1 G_x^{(0)} G_x^{(0)} J_{ns}^{00} d\eta \\
&\quad + \frac{1-\nu}{2} \left(\int_0^1 F_x^{(0)} F_x^{(0)} I_{mr}^{00} d\xi \times \int_0^1 G_x^{(1)} G_x^{(1)} J_{ns}^{00} d\eta \right. \\
&\quad + \int_0^1 F_x^{(0)} F_x^{(0)} I_{mr}^{00} d\xi \times \int_0^1 G_x^{(1)} G_x^{(0)} J_{ns}^{01} d\eta \\
&\quad + \int_0^1 F_x^{(0)} F_x^{(0)} I_{mr}^{00} d\xi \times \int_0^1 G_x^{(0)} G_x^{(1)} J_{ns}^{10} d\eta \\
&\quad + \int_0^1 F_x^{(0)} F_x^{(0)} I_{mr}^{00} d\xi \times \int_0^1 G_x^{(0)} G_x^{(0)} J_{ns}^{11} d\eta \quad) \\
&\quad + 6(1-\nu)\kappa \left(\frac{b}{h}\right)^2 \int_0^1 F_x^{(0)} F_x^{(0)} I_{mr}^{00} d\xi \times \int_0^1 G_x^{(0)} G_x^{(0)} J_{ns}^{00} d\eta \\
[K_{\phi_y w}] &= 6(1-\nu)\kappa \left(\frac{b}{a}\right) \left(\frac{b}{h}\right)^2 \times \\
&\quad \left(\int_0^1 F_y^{(0)} F_x^{(0)} I_{mr}^{00} d\xi \times \int_0^1 G_y^{(0)} G_w^{(1)} J_{ns}^{00} d\eta \right. \\
&\quad + \int_0^1 F_y^{(0)} F_w^{(0)} I_{mr}^{00} d\xi \times \int_0^1 G_y^{(0)} G_w^{(0)} J_{ns}^{01} d\eta \quad) \\
[K_{w \phi_x}] &= 6(1-\nu)\kappa \left(\frac{b}{a}\right) \left(\frac{b}{h}\right)^2 \times \\
&\quad \left(\int_0^1 F_w^{(1)} F_x^{(0)} I_{mr}^{00} d\xi \times \int_0^1 G_w^{(0)} G_x^{(0)} J_{ns}^{00} d\eta \right. \\
&\quad + \int_0^1 F_w^{(0)} F_x^{(0)} I_{mr}^{10} d\xi \times \int_0^1 G_w^{(0)} G_x^{(0)} J_{ns}^{00} d\eta \quad) \\
[K_{w \phi_y}] &= 6(1-\nu)\kappa \left(\frac{b}{a}\right) \left(\frac{b}{h}\right)^2 \times \\
&\quad \left(\int_0^1 F_x^{(0)} F_y^{(0)} I_{mr}^{00} d\xi \times \int_0^1 G_x^{(1)} G_y^{(0)} J_{ns}^{00} d\eta \right. \\
&\quad + \int_0^1 F_w^{(0)} F_y^{(0)} I_{mr}^{00} d\xi \times \int_0^1 G_w^{(0)} G_y^{(0)} J_{ns}^{10} d\eta \quad)
\end{aligned}$$

$$\begin{aligned}
[K_{WW}] &= 6(1-\nu)\kappa \left(\frac{b}{h}\right)^2 \left[(b/a)^2 \times \right. \\
&\quad \left(\int_0^1 F_w^{(1)} F_w^{(1)} I_{mr}^{00} d\xi \times \int_0^1 G_w^{(0)} G_w^{(0)} J_{ns}^{00} d\eta \right. \\
&\quad + \int_0^1 F_w^{(1)} F_w^{(0)} I_{mr}^{01} d\xi \times \int_0^1 G_w^{(0)} G_w^{(0)} J_{ns}^{00} d\eta \\
&\quad + \int_0^1 F_w^{(0)} F_w^{(1)} I_{mr}^{10} d\xi \times \int_0^1 G_w^{(0)} G_w^{(0)} J_{ns}^{00} d\eta \\
&\quad + \int_0^1 F_w^{(0)} F_w^{(0)} I_{mr}^{11} d\xi \times \int_0^1 G_w^{(0)} G_w^{(0)} J_{ns}^{00} d\eta \quad) \\
&\quad + \int_0^1 F_x^{(0)} F_x^{(0)} I_{mr}^{00} d\xi \times \int_0^1 G_x^{(1)} G_x^{(1)} J_{ns}^{00} d\eta \\
&\quad + \int_0^1 F_x^{(0)} F_x^{(0)} I_{mr}^{01} d\xi \times \int_0^1 G_x^{(1)} G_x^{(0)} J_{ns}^{01} d\eta \\
&\quad + \int_0^1 F_x^{(0)} F_x^{(0)} I_{mr}^{10} d\xi \times \int_0^1 G_x^{(0)} G_x^{(1)} J_{ns}^{10} d\eta \\
&\quad + \int_0^1 F_x^{(0)} F_x^{(0)} I_{mr}^{11} d\xi \times \int_0^1 G_x^{(0)} G_x^{(0)} J_{ns}^{11} d\eta \quad]
\end{aligned}$$

また、式(17)で与えられるサブ質量マトリックスは、次式で与えられる。

$$\begin{aligned}
[M_{WW}] &= \int_0^1 F_w^{(0)} F_w^{(0)} I_{mr}^{00} d\xi \times \int_0^1 G_w^{(0)} G_w^{(0)} J_{ns}^{00} d\eta \\
[M_{\phi_x \phi_x}] &= \frac{1}{12} \left(\frac{b}{h}\right)^2 \int_0^1 F_x^{(0)} F_x^{(0)} I_{mr}^{00} d\xi \times \int_0^1 G_x^{(0)} G_x^{(0)} J_{ns}^{00} d\eta
\end{aligned}$$

$$[K_{\phi_x \phi_y}] = \frac{1}{12} \left(\frac{b}{h}\right)^2 \int_0^1 F_y^{(0)} F_y^{(0)} I_{mr}^{00} d\xi \times \int_0^1 G_y^{(0)} G_y^{(0)} J_{ns}^{00} d\eta$$

ただし、 I_{mi}^{tu} と J_{nj}^{tu} は、次式で与えられる。

$$I_{mi}^{tu} = \frac{\partial^t N_{m,k}(\xi)}{\partial \xi^t} \frac{\partial^u N_{i,k}(\xi)}{\partial \xi^u}$$

$$J_{nj}^{tu} = \frac{\partial^t N_{n,k}(\eta)}{\partial \eta^t} \frac{\partial^u N_{j,k}(\eta)}{\partial \eta^u}$$

ここで、 t と u は、導関数の次数である。また、

$$F_x^{(i)} = \frac{d^i F_x(\xi)}{d\xi^i}, \quad F_y^{(i)} = \frac{d^i F_y(\xi)}{d\xi^i}, \quad F_w^{(i)} = \frac{d^i F_w(\xi)}{d\xi^i},$$

$$G_x^{(i)} = \frac{d^i G_x(\eta)}{d\eta^i}, \quad G_y^{(i)} = \frac{d^i G_y(\eta)}{d\eta^i}, \quad G_w^{(i)} = \frac{d^i G_w(\eta)}{d\eta^i}$$

である。

参考文献

- Wang, C.M., Reddy, J.N. and Lee, K.H.: Shear deformable beams and plates, Elsevier, New York, 2000.
- Mindlin, R.D.: Influence of rotary inertia and shear in flexural motion of isotropic, elastic plates, *Journal of Applied Mechanics* Vol.18, pp.1031-1036, 1951.
- Hashemi, S.H. and Arsanjani, M.: Exact characteristic equations for some of classical boundary conditions of vibrating moderately thick rectangular plates, *International Journal Solids and Structures*, Vol.42, pp.819-853, 2005.
- Yu, S.D. and Cleghorn, W.L.: Accurate free vibration analysis of clamped Mindlin plates using the method of superposition, *Transactions Canadian Society for Mechanical Engineering*, Vol. 17, pp. 243-255, 1993.
- Leissa, A.W.: The historical bases of the Rayleigh and Ritz

- methods, *Journal of Sound and Vibration*, Vol.287, pp.961-978, 2005.
- 6) Leissa, A.W.: The free vibration of rectangular plates, *Journal of Sound and Vibration*, Vol.31, pp.257-293, 1973.
 - 7) Dawe, D.J. and Roufaeil, O.L.: Rayleigh-Ritz vibration analysis of Mindlin plates, *Journal of Sound and Vibration* Vol.69, pp.345-359, 1980.
 - 8) Cheung, Y.K. and Zhou, D.: vibrations of moderately thick rectangular plates in terms of a set of static Timoshenko beam functions, *Computers and Structures* Vol.78, pp.757-768, 2000.
 - 9) 成田吉弘：境界条件の自由な組み合わせを考慮したFRP積層長方形板の振動解析法, 日本複合材料学会誌, Vol. 18, pp.113-120, 1992.
 - 10) Liew, K.M., Xiang, Y. and Kitipornchai, S.: Transverse vibration of thick rectangular plates-I Comprehensive sets of boundary conditions, *Computers and Structures* Vol.49, pp.1-29, 1993.
 - 11) Zhou, D., Cheung, Y.K., Au, F.T.K. and Lo, S.H.: Three-dimensional vibration analysis of thick rectangular plates using Chebyshev polynomial and Ritz method, *International Journal Solids and Structures*, Vol.39, pp.6339-6353, 2002.
 - 12) Mizusawa, T., Kajita, T. and Naruoka, M.: Vibration of skew plates by using B-spline functions, *Journal of Sound and Vibration* Vol.62, pp.301-308, 1979.
 - 13) Mizusawa, T. and Kondo, Y.: Application of the spline element method to analyze vibration of skew Mindlin plates with varying thickness in one direction, *Journal of Sound and Vibration* Vol.241, pp.484-501, 2001.
 - 14) 板倉和則：ペナルティ関数法を用いた厚肉斜板の自由振動解析(四辺単純支持の場合), 構造工学論文集, Vol. 42B, pp.213-220, 1996.
 - 15) Mizusawa, T. and Kajita, T: Analysis of skew plate problems with various constraints, *Journal of Sound and Vibration* Vol.73, pp.573-584, 1980.
 - 16) Antes, H.: Bucubic fundamental splines in plate bending, *International Journal for Numerical Methods in Engineering* Vol.8, pp.503-511, 1974.
 - 17) Fujii, F.: Spline-Funktionen mit mehrfachen Knoten in der gemischten Platten-rechnung, *Ingenieur-Archiv* Vol.50, pp. 365-375, 1981.
 - 18) Fan, S.C. and Cheung, Y.K.: Flexural free vibrations of rectangular plates with complex support conditions, *Journal of Sound and Vibration*, Vol.93, pp.81-94, 1984.
 - 19) Dawe, D.J. and Wang, S.: Vibration of shear deformable beams using a spline-function approach, *International Journal for Numerical Methods in Engineering* Vol.33, pp.819-844, 1992.
 - 20) Prenter, P.M. : Splines and variational methods, John Wiley & Sons, New York, 1975.
 - 21) Boor, C. D.: On calculating with B-spline, *Journal of Approximation Theory*, Vol.6, pp.50-62, 1972.
 - 22) Liew, K.M., Wang, C.M., Xiang, Y. and Kitipornchai, S.: Vibration of Mindlin plates – Programming the p-Version Ritz method, Elsevier Science, Oxford, 1998.
 - 23) Hou, Y., Wei, G.W. and Xiang, Y.: DSC-Ritz method for the free vibration analysis of Mindlin plates, *International Journal for Numerical Methods in Engineering* Vol.62, pp.262-288, 2005.
 - 24) Sigillito, V.G.: Improved upper bounds for frequencies of rectangular free and cantilever plates. Eng. Memo. EM-4012, Appl. Phys. Lab., The Johns Hopkins Univ., 1965.

(2006年4月13日 受付)